

УДК 621.373 : 535 (206.1)

© 1993

ГЕНЕРАЦИОННЫЕ ХАРАКТЕРИСТИКИ ПЕРЕСТРАИВАЕМЫХ  
ЛАЗЕРОВ НА ОСНОВЕ КРИСТАЛЛОВ LiF С F<sub>2</sub><sup>+</sup>- И F<sub>2</sub><sup>-</sup>-ЦЕНТРАМИ  
ОКРАСКИ, РАБОТАЮЩИХ ПРИ КОМНАТНОЙ ТЕМПЕРАТУРЕ

Басиев Т. Т., Конюшкін В. А., Миров С. Б.,  
Тер-Микитычев В. В., Федоров В. В.

Институт общей физики РАН, 117942, Москва, Россия

(Поступило в Редакцию 10 февраля 1993 г.)

Представлены результаты по оптимизации высокоэффективных перестраиваемых лазеров на основе кристаллов LiF с F<sub>2</sub><sup>+</sup>- и F<sub>2</sub><sup>-</sup>-центрами окраски, работающих при комнатной температуре без принудительного охлаждения с высокой частотой повторения импульсов. Созданные лазеры на основе оптимизированных активных элементов продемонстрировали рекордные параметры генерации.

В последнее время был достигнут большой прогресс в разработке перестраиваемых лазеров на кристаллах с центрами окраски (ЦО), которые позволили существенно расширить возможности лазерной спектроскопии в ближнем ИК диапазоне оптического спектра [1]. Одним из наиболее распространенных лазерных кристаллов для получения перестраиваемой генерации при комнатной температуре являются кристаллы фторида лития с центрами окраски. Достоинствами данных активных сред является возможность использования в качестве накачки единого лазерного источника (излучения второй и первой гармоник неодимовых лазеров) и большая область перестройки длин волн (0.82—1.1 мкм для LiF-F<sub>2</sub><sup>+</sup>-лазера и 1.07—1.29 мкм для LiF-F<sub>2</sub><sup>-</sup>-лазера), что делает их удобным инструментом для спектроскопических исследований. Вместе с достоинствами существует ряд принципиальных проблем, с которыми приходится сталкиваться при создании надежных лазеров на F<sub>2</sub><sup>+</sup>-, F<sub>2</sub><sup>-</sup>-центрах окраски в LiF, работающих при комнатной температуре. Для F<sub>2</sub><sup>+</sup> ЦО — это низкая термостойкость и для F<sub>2</sub><sup>-</sup> ЦО — это низкая концентрация и контраст между активным и паразитным поглощением на частотах накачки и генерации соответственно. В данной работе сообщаются результаты исследований, позволяющие получать рекордные параметры широкополосной и перестраиваемой генерации на этих ЦО.

Перестраиваемые LiF(F<sub>2</sub> → F<sub>2</sub><sup>+</sup>) лазеры

В работе [2] авторами сообщалось о получении высоких параметров широкополосной генерации света F<sub>2</sub> и F<sub>2</sub><sup>+</sup> ЦО в результате оптимизации технологии изготовления активных элементов LiF(F<sub>2</sub> → F<sub>2</sub><sup>+</sup>). В настоящей работе исследовались параметры перестраиваемых лазеров на основе этих активных сред.

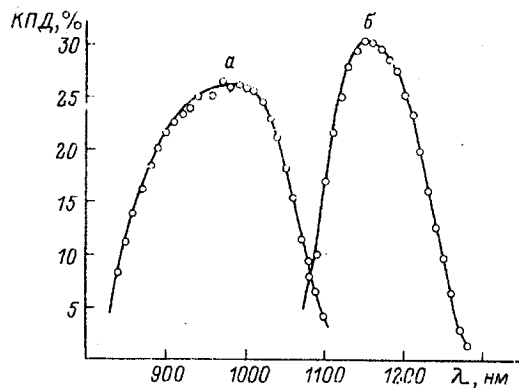


Рис. 1. Дипазоны перестройки лазеров  $\text{LiF}(\text{F}_2 \rightarrow \text{F}_2^+)$  (а) и  $\text{LiF}-\text{F}_2^-$  (б).

Генерационные исследования проводились на разработанных нами активных элементах  $\text{LiF}(\text{F}_2 \rightarrow \text{F}_2^+)$  в селективном резонаторе, образованном плоским входным зеркалом и дифракционной решеткой, работающей в автоколлимационном режиме в первом порядке дифракции. В результате удалось получить эффективную перестраиваемую в области 0.82—1.1 мкм генерацию  $\text{F}_2^+$  ЦО (рис. 1) с КПД преобразования (по подающей энергии) в максимуме перестроичной кривой 20—25% и шириной спектра генерации  $1.1-2.5 \text{ см}^{-1}$ . Применение резонатора с голограммическим селектором полного внутреннего отражения (рис. 2) позволило сузить ширину линии генерации до  $0.9 \text{ см}^{-1}$ , при этом эффективность лазера в максимуме перестроичной кривой составила 15%. В результате проведенных исследований удалось повысить эффективность генерации в резонаторе с дифракционной решеткой более чем в 2 раза и в резонаторе с голограммическим селектором в 2.5 раза по сравнению с результатами, полученными ранее [3].

#### Генерация на кристаллах $\text{LiF}$ с $\text{F}_2^+$ стабильными ЦО

В работе [4] сообщалось о возможности получения кристаллов со стабильными  $\text{F}_2^+$ -центрами окраски, что привело к созданию лазеров на основе данных активных элементов с накачкой излучением рубинового лазера или лазеров на основе органических красителей. Однако эти источники накачки имеют ряд недостатков, так, например, высокий порог генерации рубинового лазера приводит к сложности

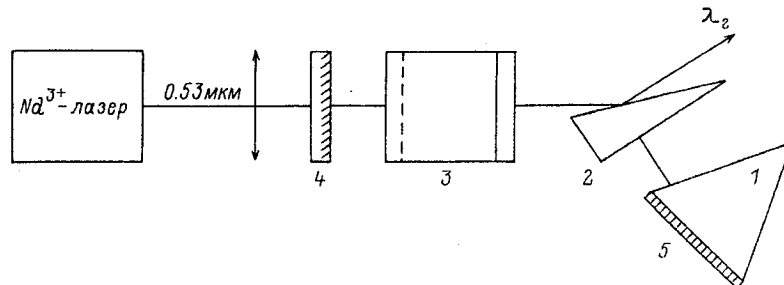


Рис. 2. Оптическая схема перестраиваемого  $\text{LiF}(\text{F}_2 \rightarrow \text{F}_2^+)$  лазера с голограммическим селектором полного внутреннего отражения. 1 — оптический клин, 2 — призма—телескоп, 3 — активный элемент  $\text{LiF}(\text{F}_2 \rightarrow \text{F}_2^+)$ , 4 — дихроичное зеркало  $R_{0.8-1.1} = 100\%$ ,  $R_{0.53} = 15\%$ , 5 — голограммическая решетка.

получения на нем генерации с высокой частотой следования импульсов. Использование в качестве источников накачки лазеров на красителях имеет ряд недостатков, связанных с фотостойкостью красителей и необходимостью их прокачки. Попытка накачивать кристаллы LiF-F<sub>2</sub><sup>+</sup> излучением второй гармоники YAG-Nd-лазера приводит к фотоионизации F<sub>2</sub>-центров окраски и последующим фотохимическим превращениям в канале накачки, приводящим к разрушению активных центров в канале генерации. В работе [5] показано, что граница фотоионизации F<sub>2</sub> ЦО находится на длине волны 580 нм. В настоящей работе исследовалась возможность создания полностью твердотельных лазерных систем на основе кристаллов LiF-F<sub>2</sub><sup>+</sup>, работающих с большой частотой повторения импульсов. В качестве лазера накачки нами было выбрано излучение второй гармоники LiF-F<sub>2</sub><sup>+</sup>-лазера с  $\lambda = 575$  нм, стабильно работающего при комнатной температуре с высокой частотой повторения импульсов. Резонатор лазера LiF-F<sub>2</sub><sup>+</sup> был образован двумя плоскопараллельными зеркалами с коэффициентами отражения на длине волны генерации 100 и 10% для входного и выходного зеркал соответственно. При энергии импульса возбуждения 1 мДж и плотности мощности накачки 30 МВт/см<sup>2</sup> КПД LiF-F<sub>2</sub><sup>+</sup>-лазера по падающей энергии составил 25%. При таком возбуждении не было обнаружено задержки в появлении генерации F<sub>2</sub><sup>+</sup>-центров окраски, связанной с ионизацией F<sub>2</sub>-центров, и обесцвечивания канала накачки. Таким образом, созданы полностью твердотельные лазерные стабильные системы, позволяющие получать эффективную генерацию на активных средах LiF-F<sub>2</sub><sup>+</sup> с высокой частотой повторения, работающие при комнатной температуре с эффективностью не хуже, чем с другими источниками накачки.

### Перестраиваемые LiF-F<sub>2</sub><sup>-</sup>-лазеры

Среди лазеров на центрах окраски, работающих при комнатной температуре, одним из наиболее распространенных является лазер на основе кристалла LiF с F<sub>2</sub><sup>-</sup>-центрами окраски, накачиваемый излучением первой гармоники неодимового лазера. Подобные лазерные системы обладают достаточно большой областью перестройки 1.07—1.29 мкм, высоким КПД преобразования излучения накачки в генерацию F<sub>2</sub><sup>-</sup> ЦО и повышенной термической и фотостойкостью. Основной трудностью при создании эффективных активных элементов является возникновение коллоидных центров в области люминесценции F<sub>2</sub><sup>-</sup> ЦО. Другим фактором, ограничивающим эффективность работы LiF-F<sub>2</sub><sup>-</sup>-лазера, является перекрытие полос поглощения F<sub>2</sub><sup>-</sup> ЦО с полосами поглощения F<sub>2</sub>, N, F<sub>3</sub> ЦО в области коротковолнового крыла F<sub>2</sub><sup>-</sup> и люминесценции F<sub>2</sub><sup>-</sup> ЦО в области длинноволнового крыла F<sub>2</sub><sup>-</sup>. Нами были проведены исследования по оптимизации технологии изготовления активных элементов LiF-F<sub>2</sub><sup>-</sup>.

В результате были получены кристаллы LiF с F<sub>2</sub><sup>-</sup> ЦО, имеющие начальное поглощение на длине волны  $\lambda = 1.064$  мкм  $K = 0.72$  см<sup>-1</sup> и поглощение в максимуме спектра люминесценции ( $\lambda = 1.15$  мкм)  $K = 0.05$  см<sup>-1</sup> (рис. 3). Как видно из рис. 3, важной особенностью оптимизированных данных кристаллов является то, что поглощение на длине волны накачки 1.06 мкм вызвано в основном F<sub>2</sub><sup>-</sup> ЦО (рис. 3). Эффективность лазерной генерации на этих активных элементах исследовалась в неселективном резонаторе, образованном плоскими зеркалами. Квазипродольная накачка осуществлялась излучением основной гармоники YAG-Nd-лазера, работающего в режиме модуляции добротности с длительностью импульсов генерации по полувысоте  $\tau_{\text{и}} = 30$  нс, энергией в импульсе до 52 мДж и частотой следования импульсов 12.5 Гц. Диаметр пятна накачки перед падением

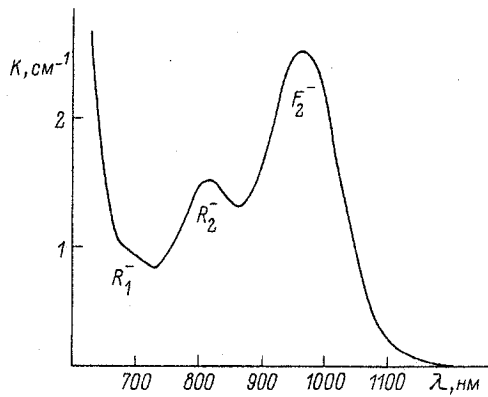


Рис. 3. Спектр поглощения активного элемента  $\text{LiF} : \text{F}_2^-$ .

на кристалл  $\text{LiF}-\text{F}_2^-$  равнялся 3 мм. Активный элемент из кристалла  $\text{LiF}-\text{F}_2^-$  длиной 40 мм был установлен под углом Брюстера к оси резонатора. На рис. 4 представлены зависимости КПД генерации  $\text{LiF}-\text{F}_2^-$ -лазера по падающей на кристалл энергии от энергии в импульсе лазера накачки для различных значений коэффициента отражения выходного зеркала. Из рисунка видно, что в области малых накачек с увеличением коэффициента отражения выходного зеркала происходит увеличение эффективности генерации в 1.5 раза. В случае больших накачек, где усиление значительно превосходит потери, оптимальным является зеркало с пропусканием  $T = 80\%$ , при этом значения эффективности лазера, где в качестве выходного использовались зеркала с различными коэффициентами отражения, близки. Максимальное значение КПД по падающей на кристалл энергии составляло 59.7%, по поглощенной — 62—70%, при энергии в импульсе накачки — 120 мДж. КПД такого лазера в селективном резонаторе, образованном плоским входным зеркалом и дифракционной решеткой, работающей в автоколлимационном режиме в первом порядке дифракции, составлял 30% в максимуме перестроенной кривой (рис. 1) с шириной спектра генерации  $2 \text{ см}^{-1}$ . Исследованные кристаллы  $\text{LiF}-\text{F}_2^-$  продемонстрировали рекордные значения КПД и позволяют создавать эффективные твердотельные лазерно-спектроскопические системы, работающие в ближнем ИК диапазоне спектра при комнатной температуре.

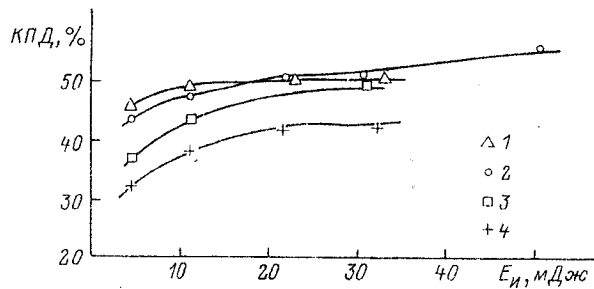


Рис. 4. Зависимость КПД генерации  $\text{LiF} : \text{F}_2^-$ -лазера по падающей энергии от энергии в импульсе лазера накачки для различных значений пропускания выходного зеркала.  $T_{1.15}, \text{ \%}: 1 - 65, 2 - 80, 3 - 88, 4 -$  вместо зеркала использовалась зеркальная подложка.

#### Список литературы

- [1] Basiev T. T., Mirov S. B., Osiko V. V. // IEEE J. Quantum Electron. 1988. V. 24. N 6. P. 1052—1069.
- [2] Басиев Т. Т., Конюшкин В. А., Миров С. Б., Тер-Микиртычев В. В. // Квант. электрон. 1992. Т. 19. № 2 . С. 145.
- [3] Басиев Т. Т., Воронько Ю. К., Кирпиченкова Е. О., Миров С. Б., Осико В. В., Соскин М. С., Тараненко В. Д. // Квант. электрон. 1981. Т. 8. № 2. С. 419—421.
- [4] Хулугуров В. М., Лобанов Б. Д. // Письма в ЖТФ. 1978. Т. 4. № 24. С. 1471—1474.
- [5] Басиев Т. Т., Воронько Ю. К., Миров С. Б., Осико В. В., Прохоров А. М. // Изв. АН СССР. Сер. физ. 1982. Т. 46. № 8. С. 1600—1609.